

Петришев В.Ф.

**ОПТИМАЛЬНАЯ ПРОГРАММА СКАНИРОВАНИЯ ОПТИКО-ЭЛЕКТРОННОГО  
ТЕЛЕСКОПИЧЕСКОГО КОМПЛЕКСА ДИСТАНЦИОННОГО ЗОНДИРОВАНИЯ  
ЗЕМЛИ ДЛЯ ОБЩЕГО СЛУЧАЯ РАСПОЛОЖЕНИЯ ОПТИКО-ЭЛЕКТРОННОГО  
ПРЕОБРАЗОВАТЕЛЯ В ФОКАЛЬНОЙ ПЛОСКОСТИ ОБЪЕКТИВА**

1. Для оптико-электронного телескопического комплекса (ОЭТК), жестко установленного на борту космического аппарата (КА) дистанционного зондирования Земли (ДЗЗ), разрешающая способность в большой степени зависит от величины методических (остаточных) погрешностей скорости сдвига оптического изображения в каждой точке информационного поля оптико-электронного преобразователя (ОЭП). Эти погрешности определяются главным образом принятой программой сканирования.

В [1] для современных ОЭТК ДЗЗ и общего случая трехосного управления КА предложена программа сканирования, которую назовем эвристической в силу способа ее задания, на основе накладываемых на угловое движение КА трех уравнений связи, определяющих:

- заданную величину продольной составляющей скорости движения изображения (СДИ)

$V_x = V_{xзад}$  (направленной поперек ОЭП) для средней точки ОЭП;

- нулевую величину поперечной составляющей СДИ (направленной вдоль ОЭП) для средней точки ОЭП  $V_z = 0$ ;

- нулевую величину частной производной от продольной составляющей СДИ по поперечной координате ОЭП для его средней точки  $\frac{\partial V_x}{\partial z} = 0$ .

Проведенные расчеты показали, что в случае применения эвристической программы сканирования продольные методические составляющие СДИ компенсируются практически полностью, а поперечные не компенсируются, значительны по величине во всей плоскости углов тангажа и крена отклонения линии визирования ОЭТК и достигают 3 мм/с.

В связи с этим актуальной является разработка оптимальной программы сканирования, которую будем определять для общего случая эллиптической орбиты КА, сферической вращающейся Земли и смещения ОЭП в продольном и поперечном направлениях относительно центра фокальной плоскости объектива.

Для этого воспользуемся соотношениями для продольной и поперечной составляющих СДИ в фокальной плоскости объектива ОЭТК [2]:

$$V_x = \frac{f}{D} \left[ (W_x a_{11} + W_y a_{21} + W_z a_{31}) - \frac{x}{f} (W_x a_{12} + W_y a_{22} + W_z a_{32}) \right] + f \omega_T - z \omega_p - \frac{x \cdot z}{f} \omega_k; \quad (1)$$

$$V_z = \frac{f}{D} \left[ (W_x a_{13} + W_y a_{23} + W_z a_{33}) - \frac{z}{f} (W_x a_{12} + W_y a_{22} + W_z a_{32}) \right] - f \omega_k + x \omega_p + \frac{x \cdot z}{f} \omega_T.$$

Здесь  $V_x$  - продольная,  $V_z$  - поперечная составляющие СДИ;  $f$  - фокусное расстояние объектива ОЭТК;  $D$  - дальность вдоль дополнительной линии визирования от центра масс КА до точки наблюдения, проектируемой на фокальную плоскость  $oxz$  в точку с координатами  $x$  и  $z$ ;  $W_x, W_y, W_z$  - проекции на оси неподвижной в инерциальном пространстве фотограмметрической системы координат  $OXYZ$  вектора скорости движения дополнительной линии визирования в точке пересечения с земной поверхностью ( сферой ) относительно земной поверхности, вызванного поступательным движением центра масс КА и вращением Земли;  $a_{ij}$  ( $i, j = 1, 2, 3$ ) - направляющие косинусы матрицы  $A$ , транспонированной по отношению к матрице перехода от фотограмметрической системы координат  $OXYZ$  к системе координат  $oxz$ , связанной с фокальной плоскостью объектива ОЭТК;  $\alpha, \beta, \psi$  - углы поворота КА по каналам тангажа, крена и рыскания, соответственно;  $\omega_T, \omega_k, \omega_p$  - проекции вектора угловой скорости КА относительно инерциального пространства на оси связанной с фокальной плоскостью системы координат  $oxz$ . При этом оси фотограмметрической системы координат  $OXYZ$  на момент начала сканирования выбираются, как правило, совпадающими по направлению с осями орбитальной системы координат.

Дальность  $D$  для дополнительной линии визирования определяется соотношениями:

$$D = D_1 - D_2; \quad D_1 = \left( a_{22} + a_{21} \frac{x}{f} + a_{23} \frac{z}{f} \right) (R_3 + H); \quad (2)$$

$$D_2 = \left[ D_1^2 + R_3^2 - (R_3 + H)^2 \right]^{\frac{1}{2}}$$

Здесь радиус Земли, принимаемой за сферу,  $R_3 = 6371$  км;  $H$  - высота полета КА.

Для  $a_{ij}$  справедливы соотношения:

$$\begin{aligned}
 a_{11} &= \cos \alpha \cos \psi - \sin \alpha \sin \beta \sin \psi; & a_{12} &= -\sin \alpha \cos \beta; & a_{13} &= \cos \alpha \sin \psi + \sin \alpha \sin \beta \cos \psi; \\
 a_{21} &= \sin \alpha \cos \psi + \cos \alpha \sin \beta \sin \psi; & a_{22} &= \cos \alpha \cos \beta; & a_{23} &= \sin \alpha \sin \psi - \cos \alpha \sin \beta \cos \psi; \\
 a_{31} &= -\cos \beta \sin \psi; & a_{32} &= \sin \beta; & a_{33} &= \cos \beta \cos \psi.
 \end{aligned} \quad (3)$$

Соотношения (1) являются приближенными. Они описывают скорость движения изображения в фокальной плоскости объектива ОЭТК с точностью до членов второго порядка малости относительно  $\frac{x}{f}$  и  $\frac{z}{f}$ .

2. Сформулируем постановку задачи определения оптимальной программы сканирования, учитывая линейность изменения продольной и поперечной составляющих СДИ вдоль ОЭП для узкопольных ОЭТК ДЗЗ. При заданных углах отклонения центральной линии визирования ОЭТК по тангажу  $\alpha$  и крену  $\beta$  найти значения составляющих вектора угловой скорости  $\omega_x, \omega_y, \omega_z$  и угол поворота КА по рысканию  $\psi$ , минимизирующие квадратичный функционал в виде суммы четырех квадратов методических (остаточных) продольных и поперечных составляющих СДИ на левом и правом краях ОЭП:

$$\mathfrak{S} = \Delta V_{xл}^2 + \Delta V_{xп}^2 + \Delta V_{zл}^2 + \Delta V_{zп}^2, \quad (4)$$

где

$$\begin{aligned}
 \Delta V_{xл} &= \frac{f}{D_n} \left[ (W_x a_{11} + W_y a_{21} + W_z a_{31}) - \frac{x}{f} (W_x a_{12} + W_y a_{22} + W_z a_{32}) \right] + \\
 &\quad + f \omega_x - (z - \ell) \omega_y - \frac{x \cdot (z - \ell)}{f} \omega_z - V_x^*; \\
 \Delta V_{xп} &= \frac{f}{D_n} \left[ (W_x a_{11} + W_y a_{21} + W_z a_{31}) - \frac{x}{f} (W_x a_{12} + W_y a_{22} + W_z a_{32}) \right] + \\
 &\quad + f \omega_x - (z + \ell) \omega_y - \frac{x \cdot (z + \ell)}{f} \omega_z - V_x^*; \\
 \Delta V_{zл} &= \frac{f}{D_n} \left[ (W_x a_{13} + W_y a_{23} + W_z a_{33}) - \frac{(z - \ell)}{f} (W_x a_{12} + W_y a_{22} + W_z a_{32}) \right] - \\
 &\quad - f \omega_z + x \omega_y + \frac{x \cdot (z - \ell)}{f} \omega_x; \\
 \Delta V_{zп} &= \frac{f}{D_n} \left[ (W_x a_{13} + W_y a_{23} + W_z a_{33}) - \frac{(z + \ell)}{f} (W_x a_{12} + W_y a_{22} + W_z a_{32}) \right] - \\
 &\quad - f \omega_z + x \omega_y + \frac{x \cdot (z + \ell)}{f} \omega_x.
 \end{aligned} \quad (5)$$

Здесь  $V_x^*$  - заданное значение продольной составляющей СДИ, которое должно выдерживаться при сканировании. Индексы "л" и "п" относятся к левому и правому краям ОЭП, соот-

ответственно. Через  $x$  и  $z$  обозначены координаты смещенного положения центра ОЭП вдоль одноименных осей, через  $\ell$  – половина длины ОЭП.

Подставим эти соотношения в функционал, и для нахождения оптимальных значений угловых скоростей сканирования приравняем нулю частные производные от полученного выражения для функционала по угловым скоростям. В результате с точностью до членов второго порядка малости относительно  $\frac{x}{f}$ ,  $\frac{z}{f}$ ,  $\frac{\ell}{f}$  получим

$$\begin{aligned} \omega_{\tau \text{opt}} &= \frac{V_x^*}{f} - \frac{1}{D_0} \left( 1 + a_{21} \frac{x}{f} \cdot \frac{R_3 + H}{D_{20}} \right) (W_x a_{11} + W_y a_{21} + W_z a_{31}) + \\ &+ \frac{x}{f \cdot D_0} (W_x a_{12} + W_y a_{22} + W_z a_{32}), \\ \omega_{k \text{opt}} &= a_{23} \frac{x}{f} \cdot \frac{R_3 + H}{D_0 \cdot D_{20}} (W_x a_{11} + W_y a_{21} + W_z a_{31}) + \\ &+ \frac{1}{D_0} \left[ 1 + \left( \frac{x}{f} a_{21} + \frac{z}{f} a_{23} \right) \cdot \frac{R_3 + H}{D_{20}} \right] \cdot (W_x a_{13} + W_y a_{23} + W_z a_{33}) - \\ &- \frac{z}{f \cdot D_0} (W_x a_{12} + W_y a_{22} + W_z a_{32}), \\ \omega_{\text{рф}} &= a_3 \cdot \frac{R_3 + H}{D_0 \cdot D_{20}} \cdot \left[ (W_x a_{11} + W_y a_{21} + W_z a_{31}) - \frac{x}{f} (W_x a_{12} + W_y a_{22} + W_z a_{32}) \right]. \end{aligned} \quad (6)$$

Использованы следующие соотношения, полученные из (2) также с точностью до членов второго порядка малости относительно  $\frac{x}{f}$ ,  $\frac{z}{f}$ ,  $\frac{\ell}{f}$ :

$$\begin{aligned} D_n &= D_0 + \Delta D_n; \quad D_{10} = D_0 + \Delta D_{10}, \quad D_0 = D_{10} - D_{20}; \\ D_{10} &= a_2 (R_3 + H) \quad D_{20} = [D_{10}^2 + R_3^2 - (R_3 + H)^2]^{1/2}, \\ \Delta D_n &= - \left( \frac{x}{f} a_{21} + \frac{z - \ell}{f} a_{23} \right) (R_3 + H) \cdot \frac{D_0}{D_{20}}; \\ \Delta D_{10} &= - \left( \frac{x}{f} a_{21} + \frac{z + \ell}{f} a_{23} \right) (R_3 + H) \cdot \frac{D_0}{D_{20}}; \\ \frac{1}{D_n} + \frac{1}{D_n} &= \frac{2}{D_0} \left[ 1 + \left( \frac{x}{f} a_{21} + \frac{z}{f} a_{23} \right) \cdot \frac{R_3 + H}{D_{20}} \right]; \\ \frac{1}{D_n} - \frac{1}{D_n} &= 2 \cdot \frac{\ell}{f} \cdot a_{23} \cdot \frac{R_3 + H}{D_0 \cdot D_{20}} \end{aligned} \quad (7)$$

Нетрудно проверить, что после подстановки оптимальных значений угловых скоростей в функционал квадраты остаточных продольных составляющих  $\Delta V_{xp}$  и  $\Delta V_{xp}$  с точностью до членов второго порядка малости относительно  $\frac{x}{f}$ ,  $\frac{z}{f}$ ,  $\frac{\ell}{f}$  становятся равными нулю, а функционал приобретает остаточный вид:

$$\mathfrak{J} = \Delta V_{xt}^2 + \Delta V_{zt}^2. \quad (8)$$

Этот факт объясняет успех применения эвристической программы сканирования, в которой выбором угловых скоростей сканирования минимизируются, как теперь становится ясно, лишь продольные методические составляющие СДИ.

Для оптимизации функционала (8) по углу рыскания подставим в этот функционал выражения для  $\Delta V_{xt}$  и  $\Delta V_{zt}$  с учетом полученных выражений (6) для оптимальных угловых скоростей КА и выражений (3) для элементов  $a_j$  матрицы направляющих косинусов, продифференцируем полученное выражение по углу рыскания  $\psi$  и приравняем полученную производную нулю. Из полученного выражения следует, что оптимальное значение угла рыскания определяется двумя уравнениями, имеющими три решения (первые два из них могут быть комплексно-сопряженными), которые можно представить в виде:

$$\psi_{\text{opt } 1,2} = \psi_{1,2} + \Delta_{1,2}; \quad \psi_{\text{opt } 0} = \psi_0 + \Delta_0, \quad (9)$$

где  $\psi_{1,2}, \psi_0$  - решения уравнений

$$\begin{aligned} & \left[ \text{tg}^2 \psi \left[ W_x \sin 2\alpha + W_y 2 \sin^2 \alpha + 2(W_x \sin \alpha \cos \beta - W_y \cos \alpha \cos \beta - W_z \sin \beta) \frac{D_{20}}{R_3 + H} \right] - \right. \\ & - 2 \text{tg} \psi \left[ W_x \cos 2\alpha \sin \beta + W_y \sin 2\alpha \sin \beta - W_z \sin \alpha \cos \beta \right] - \\ & - \left[ W_x \sin 2\alpha \sin^2 \beta - 2W_y \cos^2 \alpha \sin^2 \beta + W_z \cos \alpha \sin 2\beta \right] - \\ & \left. - 2(W_x \sin \alpha \cos \beta - W_y \cos \alpha \cos \beta - W_z \sin \beta) \frac{D_{20}}{R_3 + H} \right] = 0; \\ & \text{tg}^2 \psi \left[ W_x \cos 2\alpha \sin \beta + W_y \sin 2\alpha \sin \beta - W_z \sin \alpha \cos \beta \right] + \\ & + \text{tg} \psi \left[ W_x \sin 2\alpha (1 + \sin^2 \beta) + W_y 2(\sin^2 \alpha - \cos^2 \alpha \sin^2 \beta) + W_z \cos \alpha \sin 2\beta \right] - \\ & - \left[ W_x \cos 2\alpha \sin \beta + W_y \sin 2\alpha \sin \beta - W_z \sin \alpha \cos \beta \right] = 0; \end{aligned}$$

соответственно (эти решения соответствуют случаю отсутствия смещения ОЭП:  $x=0, z=0$ ),  $\Delta_{1,2}, \Delta_0$  - малые поправки, которые с точностью до членов второго порядка малости относительно  $\frac{x}{f}$  и  $\frac{z}{f}$  можно представить в виде дробей:

$$\Delta_{1,2} = \frac{A(\alpha, \beta, \psi_{1,2})}{B(\alpha, \beta, \psi_{1,2})}; \quad \Delta_0 = \frac{C(\alpha, \beta, \psi_0)}{D(\alpha, \beta, \psi_0)},$$

где

$$A(\alpha, \beta, \psi_{1,2}) = -\frac{\chi}{f} \sqrt{1 + \operatorname{tg}^2 \psi_{1,2}} \left[ \operatorname{tg} \psi_{1,2} (b_6 + 2b_7 \frac{D_{20}}{R_3 + H}) - (b_8 - 2b_9 \frac{D_{20}}{R_3 + H}) \right] - \\ - \frac{Z}{f} \sqrt{1 + \operatorname{tg}^2 \psi_{1,2}} (\operatorname{tg} \psi_{1,2} b_8 - b_6);$$

$$B(\alpha, \beta, \psi_{1,2}) = 2 \operatorname{tg} \psi_{1,2} (1 + \operatorname{tg}^2 \psi_{1,2}) (b_1 + 2b_2 \frac{D_{20}}{R_3 + H}) - 2(1 + \operatorname{tg}^2 \psi_{1,2}) b_3,$$

$$C(\alpha, \beta, \psi_0) = -\frac{\chi}{f} \sqrt{1 + \operatorname{tg}^2 \psi_0} (\operatorname{tg} \psi_0 b_{11} + b_{12}) - \frac{Z}{f} \sqrt{1 + \operatorname{tg}^2 \psi_0} (\operatorname{tg} \psi_0 b_6 + b_8);$$

$$D(\alpha, \beta, \psi_0) = 2 \operatorname{tg} \psi_0 (1 + \operatorname{tg}^2 \psi_0) b_3 + (1 + \operatorname{tg}^2 \psi_0) b_{10}.$$

Здесь

$$b_1 = W_x \sin 2\alpha + W_y 2 \sin^2 \alpha;$$

$$b_2 = W_x \sin \alpha \cos \beta - W_y \cos \alpha \cos \beta - W_z \sin \beta;$$

$$b_3 = W_x \cos 2\alpha \sin \beta - W_y \sin 2\alpha \sin \beta - W_z \sin \alpha \cos \beta;$$

$$b_4 = W_x \sin 2\alpha \sin^2 \beta - 2W_y \cos^2 \alpha \sin^2 \beta + W_z \cos \alpha \sin 2\beta;$$

$$b_5 = W_x \sin \alpha \cos \beta - W_y \cos \alpha \cos \beta - W_z \sin \beta;$$

$$b_6 = W_x \frac{1}{2} \sin 2\alpha \sin 2\beta - W_y \cos^2 \alpha \sin 2\beta - W_z 2 \cos \alpha \sin^2 \beta;$$

$$b_7 = W_x \sin \alpha \sin \beta - W_y \cos \alpha \sin \beta + W_z \cos \beta$$

$$b_8 = W'_x 2 \sin^2 \alpha \cos \beta - W'_y \sin 2\alpha \cos \beta - W'_z 2 \sin \alpha \sin \beta;$$

$$b_9 = W'_x \cos \alpha + W'_y \sin \alpha;$$

$$b_{10} = W'_x \sin 2\alpha (1 + \sin^2 \beta) + W'_y 2(\sin^2 \alpha - \cos^2 \alpha \sin^2 \beta) + W'_z \cos \alpha \sin 2\beta;$$

$$b_{11} = W'_x (-\sin^2 \alpha \cos \beta + \cos \alpha \frac{D_{20}}{R_3 + H}) + W'_y (\frac{1}{2} \sin 2\alpha \cos \beta + \sin \alpha \frac{D_{20}}{R_3 + H}) + W'_z \sin \alpha \sin \beta;$$

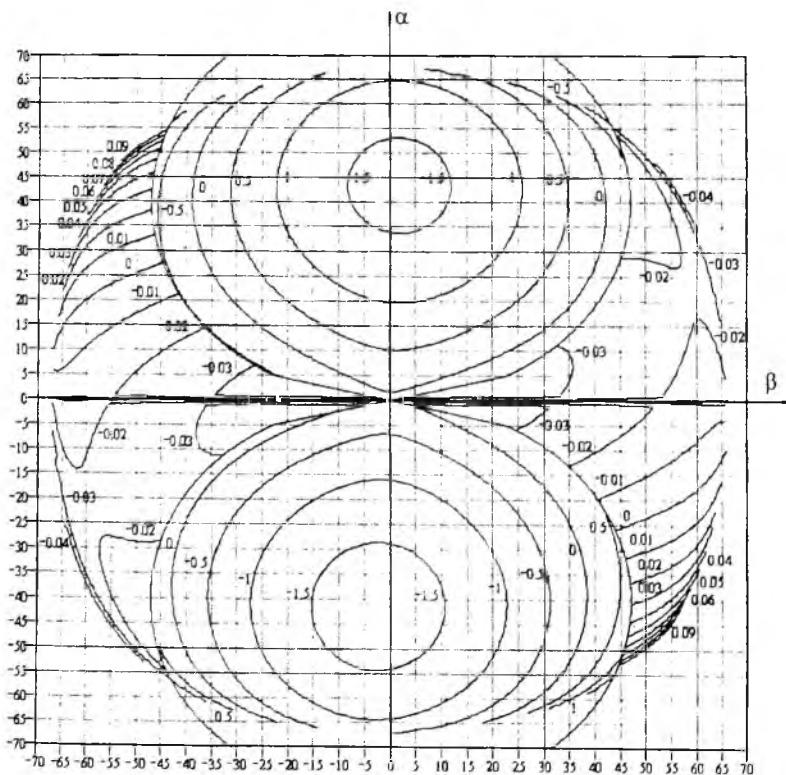
$$b_{12} = W'_x (\frac{1}{2} \sin 2\alpha \sin 2\beta + \sin \alpha \sin \beta \frac{D_{20}}{R_3 + H}) + W'_y (-\frac{1}{2} \cos^2 \alpha \sin 2\beta - \cos \alpha \sin \beta \frac{D_{20}}{R_3 + H}) + \\ + W'_z (-\cos \alpha \sin^2 \beta + \cos \beta \frac{D_{20}}{R_3 + H}).$$

Полученные выражения (6) и (9) составляют содержание оптимальной программы сканирования. При этом плоскость возможного изменения углов тангажа и крена необходимо разделить на области, в каждой из которых наилучшим является одно решение из трех.

3. Для анализа эффективности предложенной программы сканирования рассмотрим пример. Для выбранных моделей эллиптической орбиты КА и сферической вращающейся Земли составляющие  $W_x$ ,  $W_y$ ,  $W_z$  вектора скорости имеют вид:

$$W_x = \sqrt{\frac{\mu}{p}}(1 + e \cdot \cos u) - R_3 \Omega_3 \cos i; \quad W_y = \sqrt{\frac{\mu}{p}} e \cdot \sin u; \quad W_z = -R_3 \Omega_3 \sin i \cos u$$

Здесь  $\mu = 3.986 \cdot 10^5 \text{ км}^3/\text{с}^2$  - гравитационный потенциал Земли,  $\Omega_3 = 7.272 \cdot 10^{-5} \text{ с}^{-1}$  - угловая скорость вращения Земли, параметры орбиты  $p, e, i, u$  - соответственно фокальный параметр, эксцентриситет, наклонение плоскости орбиты к плоскости экватора, текущий аргумент широты и истинная аномалия. Выберем эллиптическую орбиту КА с параметрами:



высота перигея  $H_x = 350$  км, высота апогея  $H_a = 700$  км, наклонение орбиты  $i = 60^\circ$ . Пусть съемка производится в точке с  $u = 0$ , то есть на экваторе в восходящем узле орбиты, при этом истинная аномалия  $v = 90^\circ$ .

Пусть относительные параметры смещения ОЭП равны  $\frac{x}{f} = 0,006$ ,  $\frac{z}{f} = 0,006$ ; относительная половина длины ОЭП равна  $\frac{\ell}{f} = 0,006$ .

На рисунке представлен суммарный график изменения поперечных остаточных составляющих СДИ в виде изолиний равных величин составляющих в мм/с для края ОЭП с координатой  $\frac{z + \ell}{f} = 0,012$ . При этом вся плоскость параметров  $\alpha$  и  $\beta$  разделена на четыре области: верхняя и нижняя соответствуют решению  $\psi_0$ , разделены соответственно снизу и сверху двумя отрезками прямых, переходящих далее в одинаковые эллипсы; область слева от этих прямых и эллипсов соответствует решению  $\psi_1$ , область справа от этих прямых и эллипсов соответствует решению  $\psi_2$ . Из рисунка следует, что применение разработанной оптимальной программы сканирования позволяет существенно расширить области изменения углов  $\alpha$  и  $\beta$  положения объекта наблюдения, при которых поперечные остаточные составляющие СДИ не превышают величины  $0,1$  мм/с. Очевидно, что дальнейшее снижение величины поперечных остаточных составляющих СДИ за счет оптимизации программы сканирования невозможно.

## БИБЛИОГРАФИЧЕСКИЙ СПИСОК

- 1) Анатолев А. Ю., Батраков А. С., Федина А. М. Оценка информационных возможностей космических оптико-электронных систем дистанционного зондирования. // Оптический журнал, 1999, №9, с. 12-18